

III-51

低盛土による軟弱地盤の経時変形解析

九大工学部 正 山内豊聰, 正 落合英俊, 正 林 重徳.

正 球 純鐘, 長大工学部 正 植橋由彦

正 学 青柳隆浩

1. まえがき

軟弱粘性土地盤上に道路盛土を築造する場合、望ましい道路工工の形態として、低盛土が定着しつつある。低盛土道路の問題点は、高盛土におけるすべり破壊などの問題ではなく、沈下及び側方流動など地盤の変形に対するものである。このような変形の原因は、主として自動車の走行荷重によるものであり、一種の繰り返し圧密の結果として二次圧密が卓越するためと認められる。⁽¹⁾ 本研究では、その変形挙動を評価する手法として著者の1人が提案している構成則⁽²⁾を用いた静的経時変形解析法に、動的要素を組み入れること試みた。国道34号線江北ハイパスの現場を対象にし、実測データと解析結果の比較により、解析の有用性を検討した。あわせて現地に施工された石灰安定処理工法の効果についても言及した。

2. 解析手法

(i) 石灰安定処理層の効果

異方性土に対する正八面体応力比とスミ増分関係は、以下がタイレタンシー増分比に比べて無視できるものとみなせば、次式で表わされる。

$$\begin{bmatrix} d\epsilon_{11} \\ d\epsilon_{44} \end{bmatrix} = \begin{bmatrix} S_c & S_d \\ 0 & S_s \end{bmatrix} \begin{bmatrix} d\sigma_1 \\ d\sigma_3 \end{bmatrix} \quad (1)$$

ここで S_c , S_d , S_s はそれぞれ圧縮による体積ひずみ、タイルタンシー、正八面せん断ひずみ増分の生じ易さを示す係数である。

石灰安定処理層と等方弾性的な剛板とみなせば、 S_c , S_d , S_s は K (体積変形係数), G (せん断変形係数) を用いて $S_c = K$, $S_d = 0$, $S_s = \frac{1}{G}$ と表わせる。石灰安定処理層に対して弾性係数 $E = 3500 \text{ kN/cm}^2$, ポアソン比 $\nu = 0.3$ とされてる。その E , ν の値より K , G を計算すると $S_c = 3.43 \times 10^3$, $S_d = 0$, $S_s = 7.43 \times 10^4$ となる。本解析では、石灰安定処理層の S_c , S_d , S_s は常に上記の値ととるようにした。処理厚, 処理幅を変え解析を行い、影響を比較した。

(ii) 交通荷重の評価

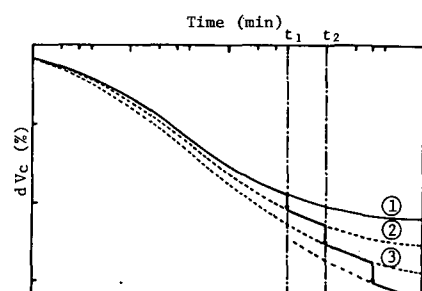
一種の繰り返し圧密の結果として沈下がすすむとみれば、交通荷重による沈下は、構成則に含まれる圧密に関するパラメーターを変化させることにより評価できると考えられる。そこで交通供用前までは、静的試験(等方圧密試験, 平均主応力一定試験)で求めたパラメーターを用い、交通供用後から動的影響を考慮したパラメーターを用いて解析した。静的試験で求めたパラメーターを表-1に示す。動的影響の評価は次のように考えた。等方圧密試験で得られた $\log P_c - t$ 関係(図-1)を次式で関数近似する。

$$\log P_c = a + b \frac{(\log t - \log t_0)}{(\log t_1 - \log t_0)} \quad (2)$$

交通供用開始時までは静的載荷を受け、その後の繰り返し荷重と動圧密とみなせば、以後における体積ひずみは静的荷載荷による値(曲線①)に比べて大きくなり、例えば曲線②に沿う値となる。このように体積ひずみが時間とともに曲線① → ② → ③と移行していく過程は(2)式の b の値を変化させることにより表現することができます。このことは、静的試験から得られる $\epsilon - \log P$ 関係(図-2)において、ある応力 P_c のもとで、間隔比 α が、交通供用開始とともに

表-1 所要パラメーター

弾塑性パラメーター		時間パラメーター	
c_c	1.145	k	0.985
c_s	0.126	a	111.325
ν	0.298	b	0.6135
v	0.011	m_d	0.7685
M_d	0.71	n_d	0.7920
N_d	0.295	n_a	1.0
寸法効果パラメータ			
n_c	0.5	n_d	0.5
n_a	0.5		

図-1 $dVc - t$ 関係

1<曲線①→②→③と変化し、沈下が進むことを表わしている。

3. 解析地盤

(i) 土性：現地盤の土性を表-2に示す。深度によりバラツキはあるが、含水比90～160%の典型的軟弱粘性土地盤である。

(ii) 解析条件：施工された道路区間延長は、1320mで現地盤より深さ1mが石灰安定処理されている。道路盛土幅は29.4mであり、石灰安定処理の幅は盛土のり尻より2m狭くなっている。盛土高は1.95mであり、高さ1mまで調査盛土をし、その後75cmほど暫定盛土を施工し、沈下が收まるたところまで厚さ20cmの舗装かおこなわれている。現在片側ニ車線だけ交通供用中である。粘性土地盤を深さ1.3m、幅60mとして解析モデルを図-3のようにした。

4. 実測値と計算値の比較及び考察

(i) 石灰安定処理層の効果

処理厚、処理幅を6ケース変え、解析を行った。各ケースの内容は表-3に示す。又、解析結果を図-4に示す。図-4は代表断面における地表面沈下量の解析結果であり、X軸は処理厚が厚く、処理幅が広くなるほど、沈下量は小さくなっているという定性的傾向が表わされている。又、石灰安定処理層は、盛土荷重を分散させるため、沈下を抑制する効果があると図-4より判断できる。

(ii) 交通荷重の評価

図-5に盛土中央部における沈下量の経時変化を示す。現場には、昭和55年4月(図中②)と昭和56年12月(図中③)に第2、第3盛土が施工され、第3盛土の段階から交通供用されている。第1盛土段階における解析結果は、実測値の傾向をほぼ把握している。第2盛土段階における実測による沈下の様子は、載荷初期において大きく、その後の沈下速度はかなり小さい。

解析結果は、とくに載荷初期の大きさは沈下傾向を表わしておらず、全体として実測値と過少評価している。これは第2段階の盛土荷重の評価法あるいはパラメータの決め方のいずれかに問題があるためと考えられる。第3段階盛土後の交通供用による沈下は(2)式の係数を変化させることによつて評価した。第2段階盛土による実測値と計算値の差が第3段階の初期にそのまま残るが、解析

結果はその後の交通供用による沈下傾向を良く把握している。すなはち、(2)式の係数を時間の関数として表わせば、交通荷重による沈下性状をかなりの精度で評価できようであろう。

(参考文献)

- 軟弱地盤上の低盛土道路における浅層石灰処理に関する研究、佐賀34号江北川べく調査業務報告書(佐賀国道工事務所)
- 棚橋、伊勢田、長崎大学工学部研究報告 第13卷、第20号 昭和58年1月 P37～45、

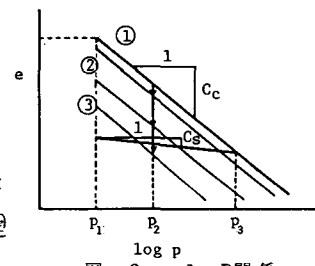


図-2 e-logP関係

表-2 試料土性

表-3 処理層	
処理厚	処理幅
○ 無処理地盤	
△ 1(m)	60(m)
■	12.7
□ 2	60
▲ 12.7	
— 現地盤	

比重	G _s	2.58～2.64
自然含水比	w _n	90～160%
液性限界	w _L	95～130%
塑性限界	w _P	40～50%
塑性指数	I _P	55～80%
液相単位重量	Y _L	12.5～14.6 kN/cm ³
間隙比	e	2.2～4.4

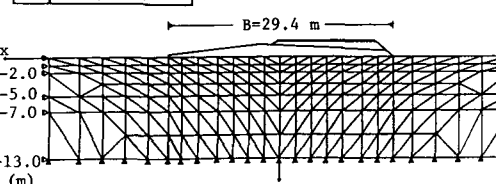


図-3 解析モデル

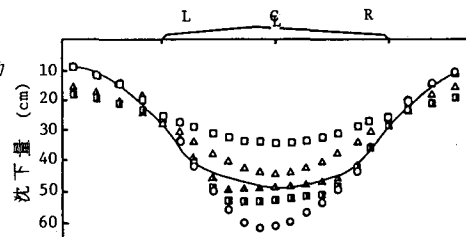


図-4 各ケースにおける沈下曲線

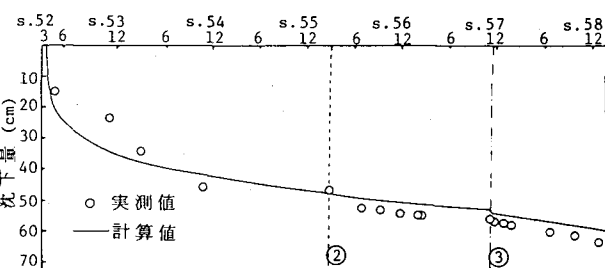


図-5 経過時間一沈下量関係

結果はその後の交通供用による沈下傾向を良く把握している。すなはち、(2)式の係数を時間の関数として表わせば、交通荷重による沈下性状をかなりの精度で評価できようであろう。

(参考文献)

- 軟弱地盤上の低盛土道路における浅層石灰処理に関する研究、佐賀34号江北川べく調査業務報告書(佐賀国道工事務所)
- 棚橋、伊勢田、長崎大学工学部研究報告 第13卷、第20号 昭和58年1月 P37～45、